



Your complimentary
use period has ended.
Thank you for using
PDF Complete.

[Click Here to upgrade to
Unlimited Pages and Expanded Features](#)

K,mlar,n,n skemik ve Non-iskemik S,çan Kalp

Kas, Hücrelerinde ncelenmesi

PROJE NO: EÜBAP ó TSA-10-3264

Proje Yöneticisi: Prof. Dr. Nurcan Dursun

Ara t,rmac,lar: Prof. Dr. Cem Süer

Haziran 2011

KAYSER



Your complimentary
use period has ended.
Thank you for using
PDF Complete.

[Click Here to upgrade to
Unlimited Pages and Expanded Features](#)

ONAY

Bu projenin kabulü Erciyes Üniversitesi Bilimsel Ara t,rma Projeleri
Komisyonunun í í í í í tarih ve í í í .. say,l, karar, ile onaylanm, t,r.

..... /í í /í í í .

EÜBAP Komisyonu Ba kan,

Mühür ve mza



Your complimentary
use period has ended.
Thank you for using
PDF Complete.

[Click Here to upgrade to
Unlimited Pages and Expanded Features](#)

Özet	4
Abstract	4
K,saltmalar ve Simgeler	5
Tablo ve ekil Listesi.....	6
Giri	7
Genel Bilgiler	8
Miyokard iskemisinde kalp hücrende olu an de i iklikler.....	8
ATP-duyarl, Potasyum Kanallar,.....	10
Patch-Clamp genel bilgi	12
Yöntem ve Gereçler	13
Ventriküler kardiyomiyositlerin izolasyonu	14
Patch-Clamp Recordings (uygun de il??).....	14
Veri analizi	15
Bulgular	16
Miyosit kapasitans, (C_m).	16
skemik ve kontrol kalplerinden elde edilen kardiyomiyositlerde farklı, voltaj kal,plar,na kar , olarak whole-cell yakla ,mla elde edilmiş örnek hücre K iyon ak,malar,.....	16
Tart, ma.....	24
Kaynaklar	28

Özet

Amaç: Sunulan çal, mada iskemiye ba 1, olarak hasar görmü s,çan kalplerinden izole edilen kalp kas, hücrelerinin ATP-duyarlı, potasyum(K) kanal ak,mlar,n, kar ,la t,rmak amaçlanm, t,r. Böylece iskemiye ba 1, olarak olu an metabolik de i ikliklerin, kalp kas hücrelerinde olu turaca , elektrokimyasal dengesizlikte ATP-duyarlı, potasyum kanal (K_{ATP}) proteinlerinin rolü ara t,r,lm, t,r.

Gereç ve Yöntem: Ara t,rmada 10 adet 2006250 g ag,rl, ,nda Wistar Cinsi erkek s,çan kullan,ld,. Miyokard iskemisi, deney grubu olarak seçilen be s,çana sol inen koroner arter dal, 5 dk süreyle bas, uygulanarak gerçekle tirildi. Hemen sonra h,zla kalp ç,kart,ld, ve Langendorff apereyine yerle tirilerek kardiyomiyositler izole edildi. ATP- duyarlı, Potasyum ak,mlar,, hipoksiye maruz kalm, ve kalmam, hücrelerden de i ik voltaj protokollerini kullanarak öwhole-cellö yöntemi ile kay,t edildi. Kay,tlar bir patch-clamp yükseltecisi, uygun yaz,l,m ve analiz sistemi kullan,larak al,nd,. Kaydedilen iyon ak,m,n,n glibenklamid ile ortadan kald,r,lm, ile bu ak,m,n ATP-duyarlı, potasyum ak,m, oldu u do ruland,. Na kanal aktivitesi membran voltaj, ile inhibe edildi. Ak,m sinyalleri pClamp yaz,l,m, ile (Axon Ins) yükseltildi (20 ó 200 mV/pA), 1kHz dü ük banda filtrelnedi ve 5 kHzde rakamsalla t,r,ld,. Veriler pClamp yaz,l,m, ile analiz edildi.

Bulgular: skemik (n=5 hücre) ve non iskemik (n=5 hücre) kalplerden izole edilen miyositlerin hücre kapasitansları, aras,nda anlamlı, bir farkı,l,k bulunmad,. De i ik voltaj protokolları, kullan,larak kaydedilen ATP duyarlı, K kanal ak,mlar,n,n istatistiksel analizi grup içi (membran potansiyeli) ve gruplar aras, anlamlı, bir etki ortaya koydu.

Sonuç: Sonuçlar,m,z iskemik hücrelerde IKtot ak,mlar,n,n kontrol hücrelerine göre farkı, olmad, ,n, ama IKatp ak,mlar,n,n anlamlı, derecede art, ,n, göstermektedir.

Abstract

Purpose: It was aimed to compare ATP sensitive K currents in ischemic and nonischemic cardiomyocytes which are isolated from ratsø hearth. Therefore role of ATP sensitive K channels (K_{ATP}) in electrochemical inbalance during ischemia was investigated.

Materials and Methods: : Male Wistar rats (8610 weeks old, weight 2006250 g) were obtained from Erciyes University Clinical and Experimental Research Center, Kayseri, Turkey. All animal experiments were performed in accordance with the Guide *Animal Care Committee of Erciyes University*. The rats were anaesthetized with intraperitoneal injection of pentobarbital sodium (50 mg/kg). After anaesthesia, the left coronary descending artery (LAD) was ligated to create a rat MI model in five rats. Ischemia procedure was not applied to control rats. Five minutes after ligation, the rat heart was excised and retrogradely perfused on a Langendorff apparatus and ventricular myocytes isolated. ATP sensitive potassium currents were recorded from ischemic and non-ischemic cells using whole-cell method. Sodium channel activity was blocked by depolarisation of the cell membran. Recording currents were amplified (20 ó 200 mV/pA) by patc-clamp amplifier, filtered in 1kHz low-pass, digitalized at 5kHz and stored offline analysis. Anaylsis was performed using pClamp software

Results: There was no significant differecnce between ischemic (n=5) and non ischemic (n=5) cell when cell capaticance was compared. Statistical analysis of currents intensities via ATP sensitive K channels resulted in significant main effects within group (voltage) and between groups (ischemic v.s. nonischemic cell).

Conclusion: Our results showed that IKtot currents in ischemic cells were not differ from nonischemic cells however IKatp currents were significantly increased.



Your complimentary
use period has ended.
Thank you for using
PDF Complete.

[Click Here to upgrade to
Unlimited Pages and Expanded Features](#)

ATP: Adenozin 3'-trifosfat

ADP: Adenozin difosfat

AMP: Adenozin monoifosfat

K_{ATP} : ATP-duyarl, potasyum kanallar,

CGRP; Calcitonin gene related peptide

NADH2; nicotinamide - adenine dinukleotid (redükte)

NAD; nicotinamide - adenine dinukleotid

Na:Sodyum

Ca:Kalsiyum

K:Potasyum

M :Ma nezyum

Tablo ve ekil Listesi

ekil 1. -70 mV'dan başlayarak 10 mV'lık adımlarla oluşan voltaj değişelerinde 200 ms süreyle K ₊ skaçlanması, srasunda kayttlanan K ₊ iyon akımı, A: kontrol ve B: iskemik kalpten izole edilen miyositlerden elde edilmiş tır 18
ekil 2. Biri iskemik, di eri kontrol kalbinden izole edilen iki miyositten elde edilen voltaj-akım grafikleri 18
ekil 3. Na ₊ akımı, n,n inaktive edildiğinde voltaj protokolünde, membran, -100 mV'dan başlayarak 10 mV'lık adımlarla depolarizasyonuna karşı, oluşan K _{ATP} akımı, Bu akımı glibenklamid uygulanması, ile ortadan kaldırılmış, t,r. Kontrol hücresi (üstte) ve iskemik hücre (altta) 20,20
ekil 4. K ₊ iyon akımı, n,n inaktivasyon protokolü 21
ekil 5. K _{ATP} iyon akımı, n,n inaktivasyon protokolü 23



PDF
Complete

Your complimentary
use period has ended.
Thank you for using
PDF Complete.

[Click Here to upgrade to
Unlimited Pages and Expanded Features](#)

Giri

ATP-duyarl, potasyum kanallar, ilk kez Noma taraf,ndan tan,mlanm, t,r (1). Bu çal, mas,nda Noma özel K⁺ kanallar,n,n hücre içi ATP deri imi 1mM'dan daha çok oldu unda blokland,klar,n, ve d, a yönelen iletkenli in, ATP-duyarl, olmayan içe-do rultmal, potasyum kanallar,ndan çok daha büyük oldu unu göstermi tir. Ayr,ca bu kanallar,n AMP_Oye duyarl, olmad,klar,n, ve ADP_Oye ATP'den daha az duyarl, oldu unu da bildirmi tir. Daha sonra pek çok ara t,rmac,, ba ka hücre türlerinde de benzer kanallar,n bulundu unu bildirmi lerdir (2, 3).

K_{ATP} kanallar, karakteristik olarak hücre içi ATP deri iminin azalmas, veya ADP düzeylerinin yükselmesi ile; hücre içi ADP/ATP oran,n,n de i mesi sonucu aktive olurlar (4). Bu kanallar, adlar,ndan da anla ,laca , gibi hücre içi ATP konsantrasyonu art,kça kapan,rlar (5). Hücre içi ATP düzeyinin azald, , zaman, aç,lan potasyum kanallar,ndan hücre d, ,na potasyum ç,kar ve membran,n hiperpolarizasyonuna neden olur (6). Bu nedenle bu kanallar hücre metabolizmas, ile membran uyar,labilirli i aras,nda ba lant,y, sa layan ve metabolizmadaki de i iklikleri, membran potansiyeline dolay,s,yla hücrenin elektriksel aktivitesine i levsel olarak ba layan proteinlerdir (7).

K_{ATP} kanallar, pankreas beta hücrelerinden insulin sal,m,ndan damar tonusunun kontrolüne kadar, pek çok fizyolojik süreci etkiler. Bu kanallar pankreatik hücrelerden glukoz ile uyar,lan insülin sal,m, için gereklidir; hipoglisemiye ba l, olarak pankreatik alfa hücrelerinden glukagon sal,m,n,n inhibisyonuna katk, sa larlar ve iskelet kas,na glukoz al,m,, karaci erden glukoz sal,m, ve beslenme davran, ,n,n belirlenmesiyle

[Click Here to upgrade to
Unlimited Pages and Expanded Features](#)

CGRP veya adenozin gibi baz, agonistlerin **K_{ATP}**

kanallar,n, aktive ederek hiperpolarizasyona ve gev emeye neden oldu u; **K_{ATP}** kanal aç,c,lar,n,n da benzer cevaba neden oldu u gösterilmi tir. Norepinefrin, serotonin ve nöropeptid Y gibi nörotransmiterler ve anjiyotensin II ve endotelinó1 gibi vazokonstrktör ajanlar,n ise **KATP kanal,n**, inhibe ederek depolarizasyon ve kas,lmaya neden oldu u gösterilmi tir (9).

Yap,lan çal, malar, **K_{ATP}** kanallar,n,n iskemi/reperfüzyon zedelenmesine kar , koruyucu rolü olabilece ini göstermektedir (10). Bu koruyucu etkinin **K_{ATP}** kanal proteininin sitozolik havuzundan membran havuzuna transloke olmas, ile ili kili olabilece ine dair çal, malar vard,r (11). Buna ra men, hücre membran,nda yer alan KATP kanal aktivitesinin iskemiye ba l, olarak de i ip de i medi i, hakk,nda yeteri kadar çal, ma yoktur. Sunulan çal, mada iskemiye ba l, olarak hasar görmü ve görmemi s,çan kalplerinden izole edilecek kalp kas, hücrelerinin ATP-duyarlı, Potasyum kanal ak,mlar,n, kar ,la t,rmak ve iskemiye ba l, olarak olu an metabolik de i ikliklerin, kalp kas hücrelerinde olu turaca , elektrokimyasal dengesizlikte ATP-duyarlı, potasyum kanal proteinlerinin rolünü incelemektir.

Genel Bilgiler

Miyokard iskemisinde kalp hücresinde olu an de i iklikler

Miyokardiyal iskemi, arteriyal kan ak,m, miyokard,n i levini idame etirmesi için gerekenin alt,na dü tü ünde ortaya ç,kar. skemi bask,n enerji kayna , olarak



Your complimentary
use period has ended.
Thank you for using
PDF Complete.

[Click Here to upgrade to
Unlimited Pages and Expanded Features](#)

ersiz kan ak,m,ndan dolay, olu an hipoksiyi ifade

eder. Ayn, zamanda y,k,m ürünleri dokudan uzakla t,r,lamaz.

Miyokardiyal hücrede ATP üretimi için üç önemli yol vardır: (1) Sitozolde glükozun piruvata glikolitik y,k,m, ile ATP üretimi, (2) GTP yolu ile sitrat siklusunda mitokondriyal ATP üretimi ve (3) Sitokromlar, ATPaz ve ATP/ADP translokaz yolu ile mitokondriyal iç membranda ATP üretimi (12).

Reperfüzyon dokuya olan kan ak,m,n yeniden sa land, , süreci tan,mlar. skemik zedelenme bir oklüzyon döneminden sonra arteriyal kan ak,m,n,n i levin düzeltmesi ile beraber olup olmad, ,na ba 1, geri dönü ümlü bir olaydır. Örne in 15 dk süreyle iskemiye maruz b,rak,lan papillar kas hücreleri geri günü ümlü bir biçimde zedelenirler ve 2 dk süreyle yeniden kanland,rmay, takiben i levlerin performans,, ayn, hayvan,n noniskemik sol ventrikül miyokard,ndan yap,sal ve kimyasal tekniklerle ay,rt edilemez. Ancak iskemik peryodun uzamas, ile doku hücrelerinde geri dönü ümsüz de i iklikler olmaya ba lar. Geri-dönü ümsüz olarak hasarlanm, bir hücre normal fizyolojik ortam yeniden sa lansa bile ya am,n, sürdürmez. Örne in bu tür hücreler belirgin hücresel i me gösterirler, ço u parçalanmaya yak,nd,r ve bu tür kardiyomiyositler amorf mitokondrial matriks cisimcikleri içerirler. Uzam, iskemiye ba 1, olarak kardiyomiyositlerin plazma membranlar, zedelenir, katabolitlerin art, ,na ba 1, olarak intrasellüler ozmolarite artar; intrasellüler Na, Cl ve Ca içeri i yükselir. Uzam, miyokardiyal iskemi hücresel glikjenin ve ATP kaynaklar,n,n tükenmesine de neden olur. Metabolik aktiviteleri idame ettirebilmek için kardiyak ATP üretim yolu de i ir. Kardiyomiyositler normal ko ullarda metabolik ihtiyaçlar,n, aerobik yollardan

çok anaerobik kaynaklar kullanılır. Bunun bir sonucu olarak sitrat döngüsü ve glikolitik yolaklar, bant, ca yüksek NADH₂/NAD oran, tarafından inhibe olan glseraldehit fosfat dehidrogenaz enzimi nedeni ile inhibe edilir. Anaerobik metabolizmalar aerobik metabolizmaya göre daha az ATP üretti i için, bu üremimin kar ,layaca , i levsel düzelseme süresi s,n,rl, olur (13).

ATP-duyarlı Potasyum Kanalları

K_{ATP} kanallar, 1983 y,lnda Noma (1) domuz ventrikül miyositlerinden hazırlanan membran yamalarında tarafından bulunmuştur. Bu kanallar dü ük mikromolar konsantrasyonlardaki ATP tarafından inhibe edilirler ve ATP seviyesi dü ünce açı,rlar (4). Bu kanallar,n miyokardiyal metabolizmay, membran elektriksel aktivitesine kenetledikleri ve açımlar, halinde (dü ük ATP) içsel bir kalp-koruyucu mekanizma olu turduklar, ileri sürülmü tür (1, 4). Katp kanallar, iskemi-reperfüzyon hasar,nda anahtar bir rol oynarlar (14). Glibenklamid ve Na 5-hidroksidekonat gibi Katp kanal antagonistleri iskemik hasar, art,r,rken ve Katp kanal açı,rlar, apikalimin iskemik hasar, azalt,r (15).

ki ayrı, **K_{ATP}** popülasyonu vard,r: Mitokondrial membran,n iç yüzünde olanlar ve sarkolemma üzerinde olanlar. Her ne kadar sarkolemmal **K_{ATP}** kanallar,n,n açımlar,n,n aksiyon potansiyelini k,salt,p kontraktiliteyi bask,layarak miyokard, korudu unu göstermi olsa da (16) BMSó180448 (17) ve cromakalim(18), adl, iki **K_{ATP}** kanal açı,rlar, aksiyon potansiyel süresini de i tirmeden miyokard, korudu. Ayr,ca **K_{ATP}** kanal açı,rlar ve miyokardiyal koruma uyar,ıma özelli i olmayan kardiyomiyositlerde



Your complimentary
use period has ended.
Thank you for using
PDF Complete.

[Click Here to upgrade to
Unlimited Pages and Expanded Features](#)

K_{ATP} kanal açımmas, ile olu an korumada aksiyon

potansiyelinde k, salman,n bir etmen olamayaca ,n, dü ündürmektedir.

Yeni bulgular korumada sarkolemmal de il mitokondrial K_{ATP} kanallar,n,n rolü oldu unu dü ündürmektedir. Diazoksid selektif bir mitokondriyal kanal aç,c,d,r ve miyokardiyal koruma yapar (20). Diazoksid ile indüklenen koruma, sarkolemmal K_{ATP} kanallar,n,n i levsel durumundan ba ,ms,zd,r (21) ve mitokondrial K_{ATP} kanal blokerleri koruyucu etkiyi ortadan kald,r,r (22).

Bir di er selektif sarkolemmal Katp kanal blokeri HMR1883'ün diazoksidin yapt, , miyokardiyal korumay, ortadan kald,rmamas, da mitokondriyal Katp kanallar,n,n rolü oldu una dair dü ünceleri desteklemi tir (23). Ancak mitokondrial Katp kanallar,n,n açımmas,n,n membran deP, matrix i mesi, ATP sentezinde yava lama ve h,zlanm, solunuma yol açmas, nedeni ile, bu kanallar,n açımmas,n,n nas,l olup da koruyucu etki yaptı, , aç,k de ildir.

Her ne kadar mitokondrial Katp kanallar, miyokrdiyal koruma yola ,ndaki sinyalleme kaskad, ile ilgilidirler ve son bulgular bir tetikleyici olduklar,n, dü ündürmektedir (24).

Pain ve arkada lar, (25) izole tav an kalbini 5 dk süreyle diazokside maruz b,rakm, lar ve koruma durumunun diazoksid y,kand,ktan sonra 30 dakika süreyle koruma durumunun devam etti ini bildirmi lerdir. Bu bulgu tetikleyici bir etkinin varl, ,na i aret eder. Üstelik 5-HD bu koruman,n etkisini ortadan kald,rm, t,r. Bu



Your complimentary
use period has ended.
Thank you for using
PDF Complete.

[Click Here to upgrade to
Unlimited Pages and Expanded Features](#)

ur,n,n koruman,n son ürünleri olmad,klar,n, bunun

yerine bu kanallar,n iskemiden önce aç,lm,mas,n,n koruma kaskad,n, tetikleyen ve kinazlar, aktive eden bir etkisi oldu unu gösterir.

KATP kanallar, kardiyomiyositlerden ba ka (26) beyin (27, 28), pankreas (29), iskelet kas, (30) ve damar düz kas,nda (31) da bulunur.

Katp kanallar, 2 ayr, alt birimden yap,lm, hetero-oktomerik komplekslerdir. (32). Kanal deli i dört Kir6.X alt ünitesinden yap,lm, t,r ve bunlar içe rektifiye edici K kanal ailesinin üyeleri. Kanal deli ine ilave olarak dört sülfonilüre reseptör alt birimi (SUR) kanal kap,lanmas,n, regüle eder (32).

Kir kanallar, ak,m, içe do ru daha iyi geçirme yetene i olan kanallard,r. Ek,den daha büyük membran potansiyeli de erlerinde K iyonlar, elektrokimyasal gradyanlar,n,n etkisiyle hücre d, ,na ç,karlar. Mg gibi di er baz, iyonlar ve spermin gibi poliaminler de bu kanallardan d, a ak, , bloklarlar ve içe do rultma sa larlar. Ek,den daha dü ük membran potansiyellerinde K iyonlar, hücre içine akar (33).

Patch-Clamp genel bilgi

Voltaj clamp tekn i ilk kez Cole taraf,ndan 1949da tan,mlanm, t,r. 1952 y,l,nda Hodgkin, Huxley ve Katz taraf,ndan geli tirilmi tir. Hodgkin ve Huxley voltaj clamp, tekni i ile 1963 y,l,nda Nobel T,p ve Fizyoloji ödülü alm, lard,r. Hodgkin ve Huxley bu teknik sayesinde voltaj kap,l, sodyum ve potasyum kanallar,n,n, zar

iletkenliklerini saptam, lar ve bu de erlerden de aksiyon potansiyelinin genli ini (voltaj,, amplitüdü) ve zamansal yap,s,n, matematiksel olarak türetilmeli lerdir. Patch klamp teknisi ile hücre zar,n,n küçük bir bölgesinin iki taraf, arasındaki potansiyel fark,n, istenilen bir de erde sabit tutarak, zar,n bu parças, içinde yer alabilecek iyon kanallar,n,n ve unluklar,n, (birim alandaki say,lar,n,), iletkenliklerini ve çetili koullardaki davranış, lar,n, ara tırmak mümkün değildir. Ayrca patch klamp, teknisi ile sadece voltajla aktive edilen iyon kanallar, de il, ayn, zamanda ligandlarla (kimyasallarla) aktive edilen iyon kanallar, da ara tırmak mümkünktedir.

Yöntem ve Gereçler

Ara tırmada 10 adet 2006250 g ağırlı, nda Wistar Cinsi erkek s,çan kullanıldı,. S,çanlar ketamin (40 mg/kg, im) ve xylazine (5 mg/kg, im) ile aneztezi edildikten sonra intübe edildi ve bir respiratöre (Harvard Rodent Ventilator model 683) bağlanarak ventile edildi. Cerrahi asepsi ilkelerine uyularak 4ncü interkostal aralıktan sol torakotomi açıldı,. Sol inen koroner arter dal, bulunarak bir ipek stur vasis, ile belirginle tırıldı. Daha sonra, deney grubuna (n=5) damar çeperi üzerine yerle tırılan bir plastik aprey vasis,yla damar d, ardan bas, uygulanarak tam olarak kapatıldı, ve 30 dakika sonra kanlanma yeniden sağlandı,. Kontrol grubunda aynı prosedür damar bası, yapılmadan uygulandı,. Yeterli bir iskeminin oluşumlu olduğunu, , bu sırada kayttlanan EKG'de ST segmentinin izlenmesi ile yapıldı,.

Ventriküler kardiyomiyositlerin izolasyonu

Otuz dakikalık uygulamadan hemen sonra hzla kalp kanüle edilerek ç,kart,ld, ve Langendorff apereyine yerle tirlerek koroner arterler vas,tas,yla Ca²⁺sız (%1 ölik BSA ile) bir solüsyon kullan,larak geriye döru perfüze edildi (Bu solüsyonun içeriği, mM olarak: 145 NaCl, 5 KCl, 1.2 MgSO₄, 1.4 Na₂HPO₄, 0.4 NaH₂PO₄, 5 HEPES, 20 Taurin ve 10 glukoz, pH 7.4). Temizleme maksatlı, bu perfüzyonu takiben aynı, solusyon içeresine ilave edilen kollajenaz (1 mg/mL, Tip 4) ile 30 dakika daha perfüzyona devam edildi. Perfüzyon tamamlandıktan sonra Sol ventrikül küçük parçalara ayrıldı, ve bir naylon mehsüden geçirildi. Ardından ayrılmış miyositler kollajenazsız bir solüsyonda yıkandı, ve Ca²⁺yun dereceli bir şekilde artırıldı, solüsyonlara srasıyla yerle tırıldı. Son solüsyondaki Ca²⁺ iyon konsantrasyonu 1,3 mM olacaktır. Daha sonra hücreler patch-clamp deneyleri başlayana kadar yaklaşık 1 saat bu solüsyon içinde bekletildi.

Patch-Clamp (pClamp) Kayıtları

ATP- duyarlı, Potasyum akım, izole edilen hipoksiye maruz kalmış, ve kalmamış, hücrelerden whole-cell yöntemi ile kayttırıldı. Bu amaçla kullanılabilecek pipetler 1,5 mm dia, çaplı, boroskilit ile kaplanmış, pipetlerden çekilerek hazırlanmış, ve bu pipetlerin içi pipet solüsyonu ile doldurulmuştur. Pipet solüsyonunun içeriği mM olarak KCl 140, MgATP 2.0, MgCl₂ 1.0, HEPES 10, EGTA 5 ve GTP 0.1 den oluşan ekilde; pH 7.3 ayarlanmıştır. Doldurulmuş pipetlerin rezistansı, 2.0-4.0 MΩ arasındadır ise kaytlar için kullanılmıştır, aksi halde yeni pipet çekilerek hazırlanır. Hücreler mM olarak Aspartat 110, NaCl 135, KCl 5.4, MgCl₂ 1.0, CaCl₂ 1.0, NaH₂PO₄ 0.33,



Your complimentary
use period has ended.
Thank you for using
PDF Complete.

[Click Here to upgrade to
Unlimited Pages and Expanded Features](#)

iran, pH ϕ 7.4 ϕ e ayarlanm, banyo solusyonuna

yerle tirildi. ATP-duyarlı, potasyum kanal aktivitesinin kayd, için pipet solusyonuna 0,25mM ATP eklendikten sonra, solusyon içeri i iletken bir elektrod ile öheadstageöe ba land,. Kaytlar bir patch-clamp yükseltecisi, uygun yazılım ve analiz sistemi kullanılarak alınd,. Akım kayd, srasında membran potansiyeli -40 mV de erinde tutuldu ve kaydedilen akım, glibenklamid- duyarlı, olup olmad, , dikkate alınd,.

Kaydedilen iyon akım, n glibenklamid ile ortadan kaldırılmış, ile, bu akım, n ATP-duyarlı, potasyum akım, oldu u do ruland,. Na kanal aktivitesini inhibe etmek için tetradotoksin kullanıldı,.

Akım sinyalleri pClamp yazılım, ile (Axon Ins) yükseltildi (20 ó 200 mV/pA), 1kHz düük banda filtrelandı ve 5 kHz'de rakamsallaştırıldı,. Pipet potansiyel 100 mV'da tutuldu. Veriler pClamp yazılım, ile analiz edildi.

Veri analizi

statistik SPSS paket program, kullanılarak yapıldı,. Ortalama akımlar arasındaki farklılıklar, grup (iskemi ve kontrol) ve grup içi faktör (membran potansiyeli) dikkate alınarak tekrarlayan ölçümlerle ANOVA testi kullanılarak yapıldı,. 0.05'den küçük p değerleri anlamlı kabul edildi..



Your complimentary
use period has ended.
Thank you for using
PDF Complete.

[Click Here to upgrade to
Unlimited Pages and Expanded Features](#)

Bulgular

Miyosit kapasitans² (C_m).

skemik ve non iskemik kalplerden izole edilen miyositlerin hücre kapasitansları, arasında anlamlı bir farklılık bulunmadı, (Mann-Whitney U test; $p>0.05$). Hücre hacmi hakkında bilgi veren membran kapasitansı eri ortalaması, iskemik kardiyomiyositler için 146 ± 13.7 pF ($n = 5$) ve kontrol kalplerinden izole edilen kardiyomiyositler için 164 ± 14.9 pF ($n=5$) olarak bulundu.

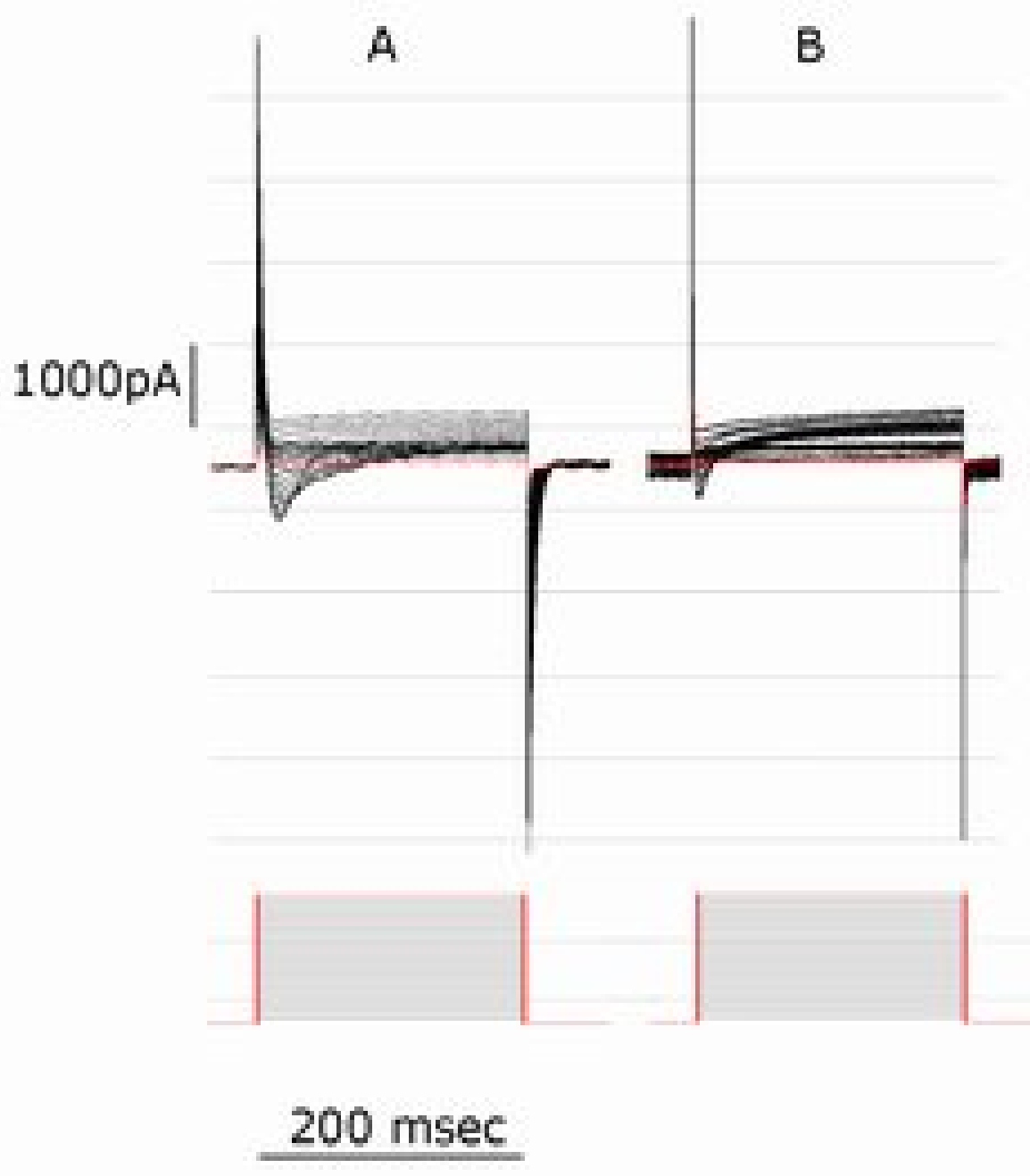
skemik ve kontrol kalplerinden elde edilen kardiyomiyositlerde farklı² voltaj kalıplarına karşı² olarak whole-cell yaklaşımla elde edilmiş örnek hücre K⁺ iyon akımları²

ekil 1'de -70 mV'dan başlayıp 10 mV'lık adımlarla oluşan voltaj değişerlerinde 200 ms süreyle kıskaçlanmasının, sonrasında kayttılanan K⁺ iyon akımları, bir kontrol (a) ve bir iskemik (b) kalbinden izole edilen miyositlerde gösterilmiştir.ecdiden de fark edilebileceğini gibi iskemik hücredeki K⁺ iyon akımı, n büyülü, kontrol hücresine göre daha düşükür. statistiksel analiz için her membran potansiyeli de erine karşı, farklı olma eğilimi tekrarlayan ölçümlerle ANOVA testine tabi tutulmuştur. Maksimum K⁺ akımı genlikleri tekrarlayan ölçümlerle ANOVA testine tabi tutulmuştur. Maksimum

[Click Here to upgrade to
Unlimited Pages and Expanded Features](#)

ortalama 5846 ± 456 pA, kontrol hücreleri için

5943 ± 515 pA olarak bulundu. statistiksel analiz anlamlı, bir grup içi (membran potansiyeli) oldu unu göstermi ancak gruplar aras, anlamlı bir etki bulunmam, t,r.

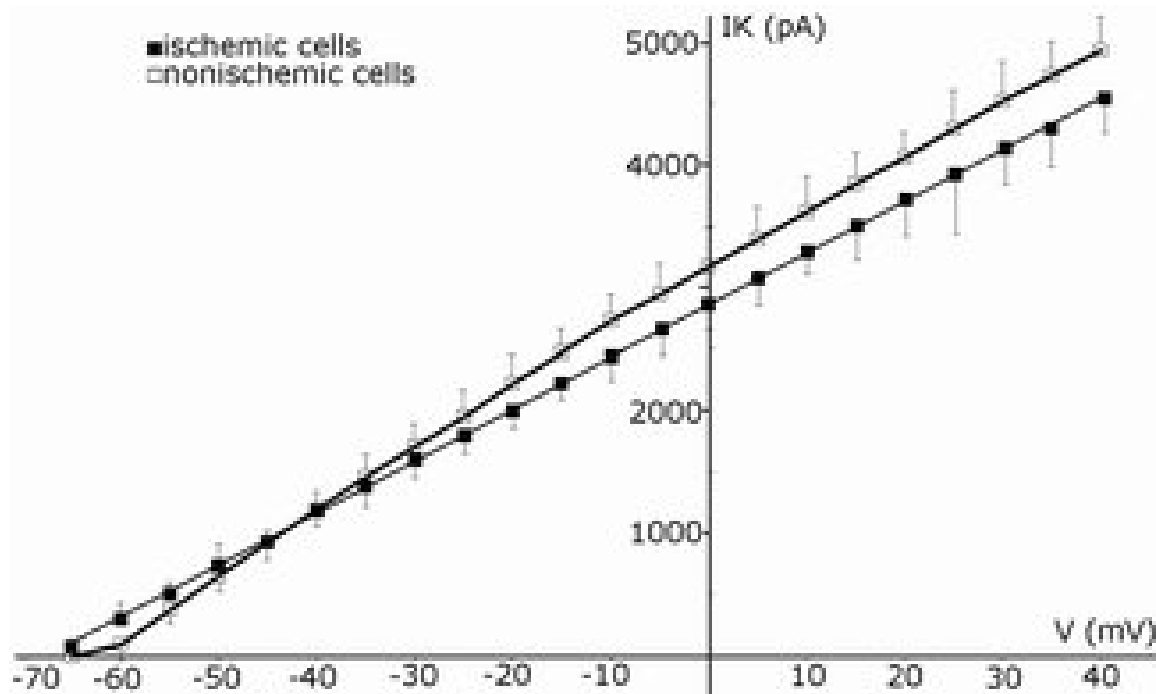


[Click Here to upgrade to
Unlimited Pages and Expanded Features](#)

Vd^luk ad,mlarla olu an voltaj de erlerinde 200 ms

süreyle k,skaçlanmas, s,ras,nda kay,tlanan K iyon ak,mlar,. A: kontrol ve B: iskemik kalpten izole edilen miyositlerden elde edilmiş tir.

Biri iskemik, di eri kontrol kalbinden izole edilen iki miyositten elde edilen voltaj-ak,m grafikleri ekil 2^ode gösterilmiştir. Ayn, membran potansiyelinin iskemik hücrede, kontrol de erinden daha az K ak,m, olu turdu u görülebilmektedir.



ekil 2. Biri iskemik, di eri kontrol kalbinden izole edilen iki miyositten elde edilen voltaj-ak,m grafikleri.

ekil 3^ode membran potansiyelinin önce -40 mV^l k,skaçlanarak Na ak,mlar,n,n inaktive edildi i, sonra membran,n -100 mV^ldan ba layarak 10 mV^luk ad,mlarla depolarize edildi i voltaj protokolünün uygulanması,na yan,t olarak kontrol (üstte) ve



Your complimentary
use period has ended.
Thank you for using
PDF Complete.

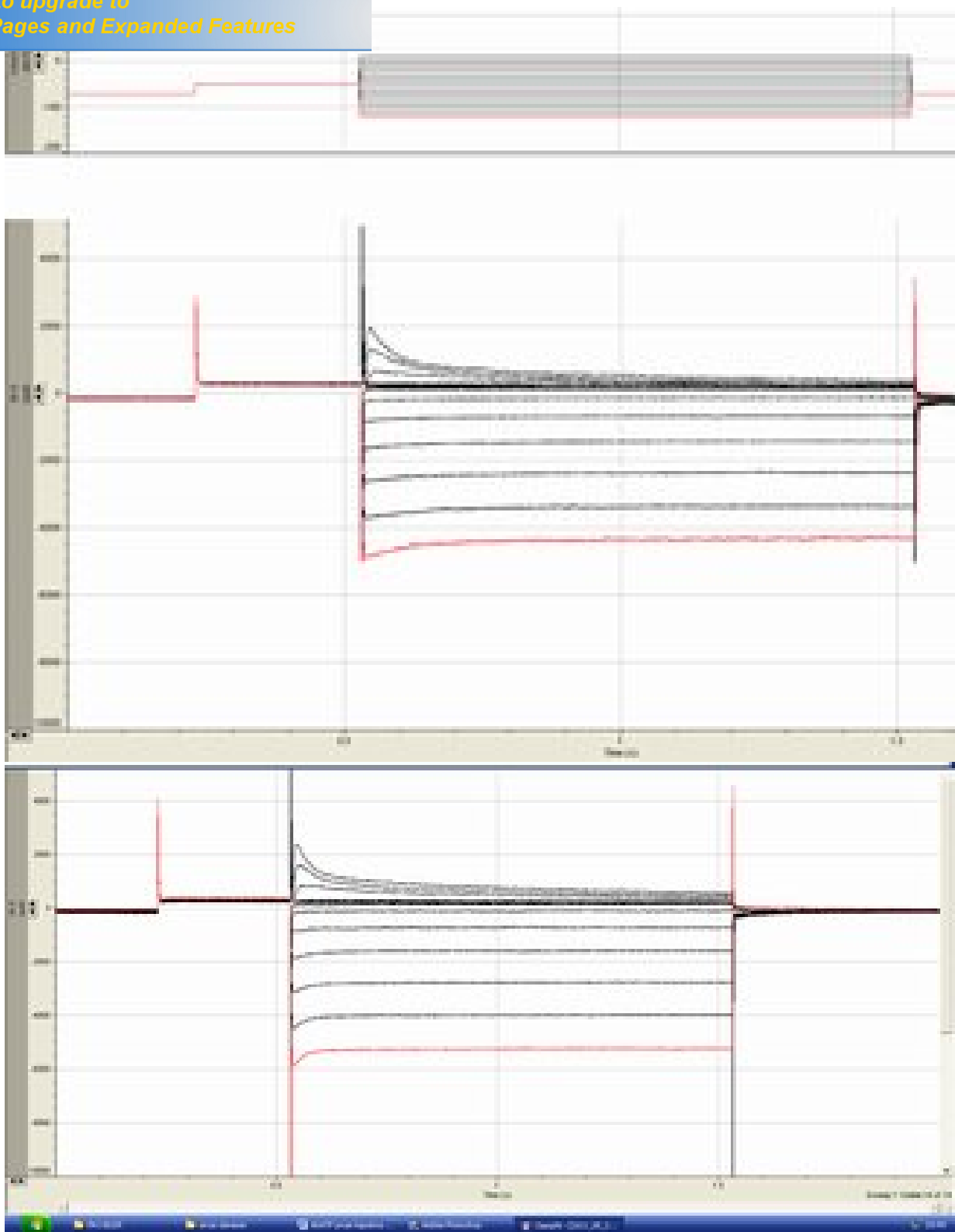
[Click Here to upgrade to
Unlimited Pages and Expanded Features](#)

birer kardiyomiyositten kay,tlanan Katp kanal

ak,mlar, görülmektedir. Maksimum ak,m de eri kontrol hücrelerinde 1918 ± 213 pA, iskemik kalp hücrelerinde ise 2254 ± 312 pA olarak ölçüldü. statistiksel analiz iskemik Katp ak,m yo unlu unun iskemik kalp hücrelerinde, kontrole göre yüksek oldu unu (Man-Whitney U test, dF=7; U=4,37; p<0,05) ortaya koydu.

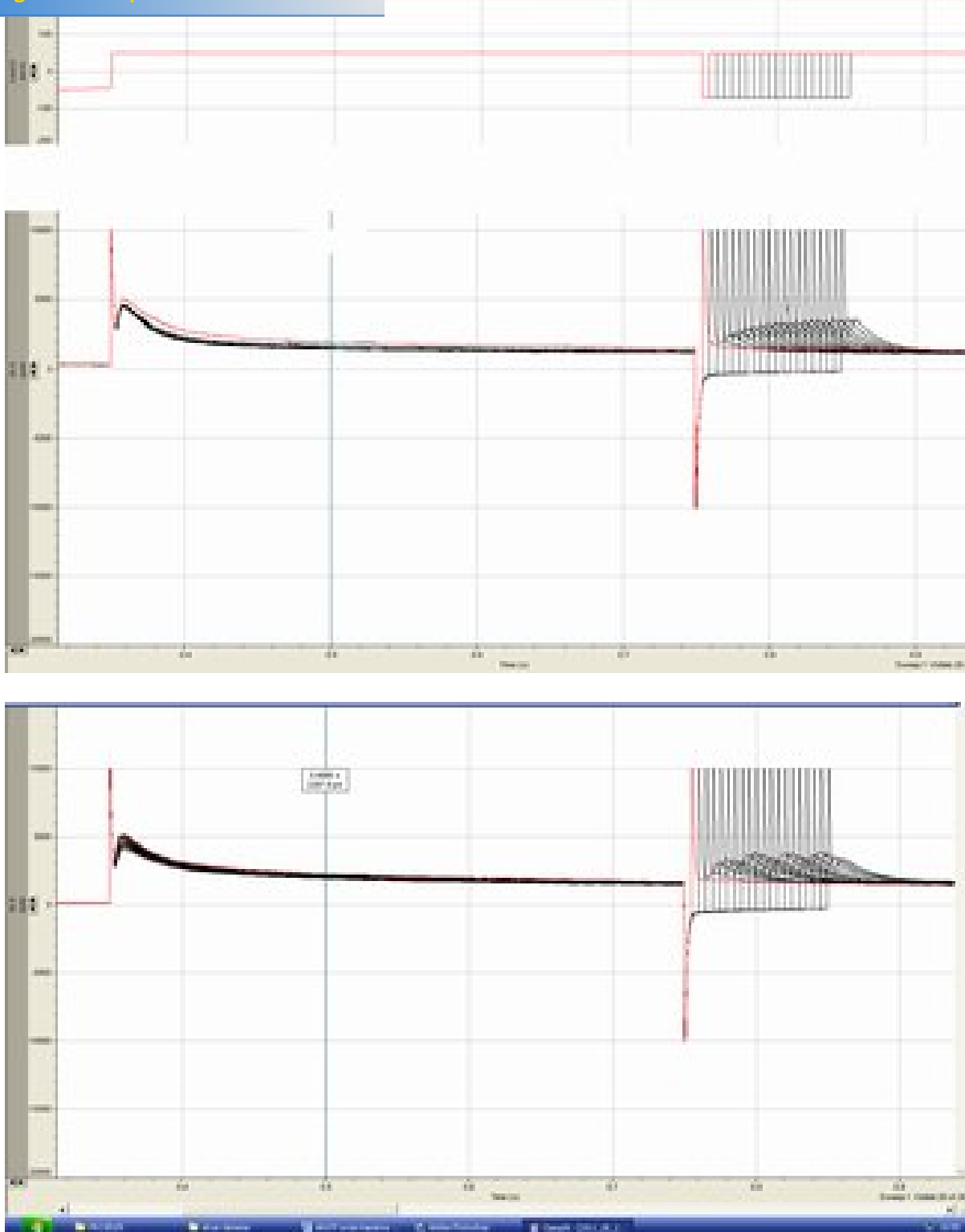
ekil 4'de toplam K iyon ak,mlar,n,n inaktivasyonunu kay,tlamak için kullan,lan protokelle elde edilen ak,m grafikleri bir kontrol (üst) ve bir iskemik (alt) örnek hücrede gösterilmi tir. Maksimum inaktivasyon ak,m, kontrol grubu için 2012 ± 284 pA ve hipoksik hücreler için 2084 ± 277 pA olarak ölçüldü. inaktivasyon protokolü ile elde edilen ak,mlar,n iki grup aras,ndaki istatistiksel kar ,la t,rmas, anlamlı, de ildi.

[Click Here to upgrade to
Unlimited Pages and Expanded Features](#)



ekil 3. Na⁺ ak,mlar,n,n inaktive edildi i voltaj protokolünde, membran,n -100 mV'dan başlayarak 10 mV'lık ad,mlarla depolarizasyonuna karşılık, oluşturulan Katp ak,mları,. Bu ak,mlar glibenklamid uygulaması ile ortadan kaldırılmış, t,r. Kontrol hücresi (üstte) ve iskemik hücre (altta).

[Click Here to upgrade to
Unlimited Pages and Expanded Features](#)



ekil 4. K iyon ak,mlar,n,n inaktivasyon protokolü.



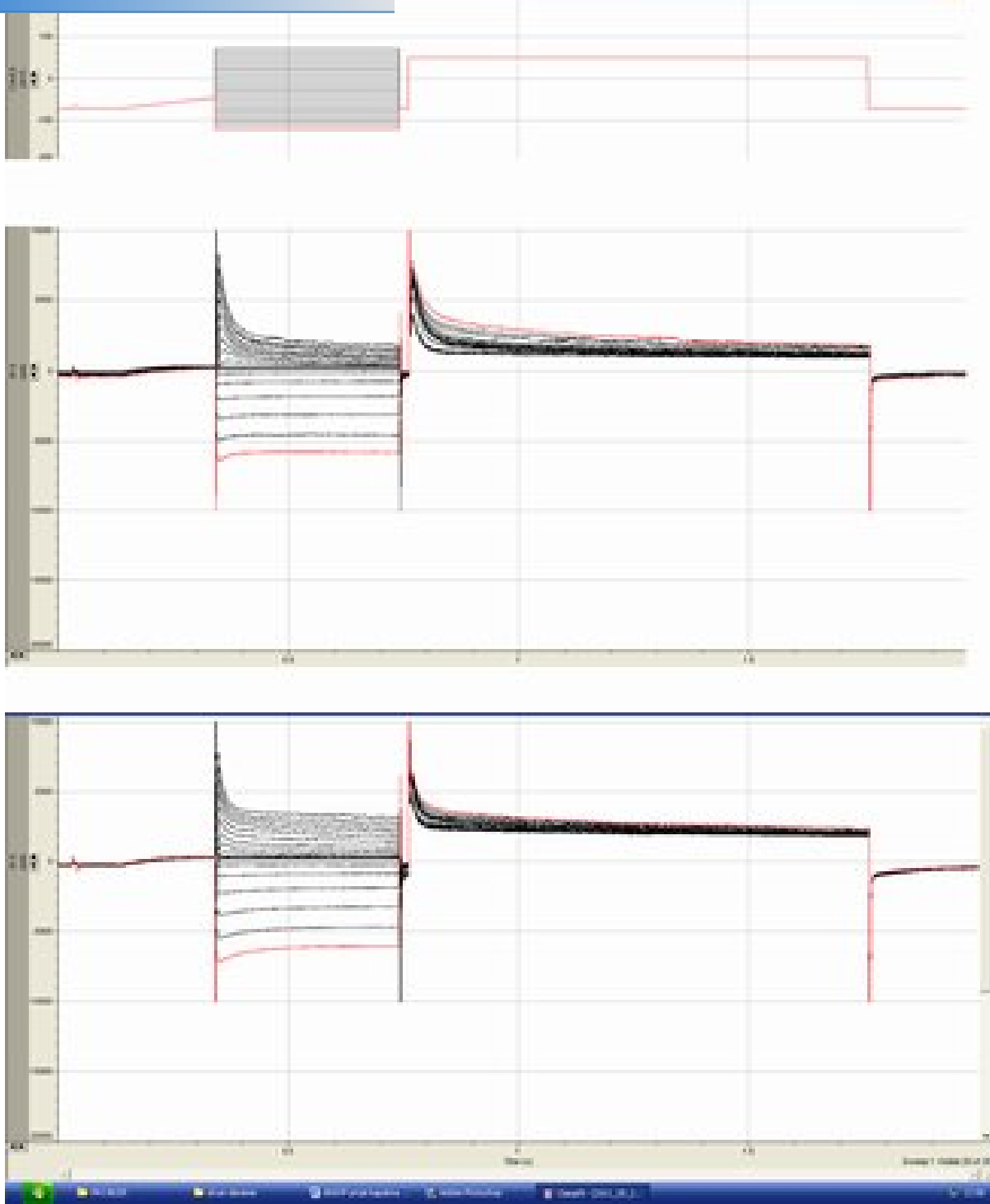
Your complimentary
use period has ended.
Thank you for using
PDF Complete.

[Click Here to upgrade to
Unlimited Pages and Expanded Features](#)

ar,n,n inaktivasyonunu kay,tlamak için kullan,lan

protokelle elde edilen ak,m grafikleri bir kontrol (üst) ve bir iskemik (alt) örnek hücrede gösterilmi tir. Katp kanallar,n,n maksimum inaktivasyon ak,m, kontrol hücreleri için 7656 ± 668 pA iskemik hücreler için 7443 ± 376 pA bulundu. naktivasyon protokolü ile elde edilen ak,mlar,n iki grup aras,ndaki istatistiksel kar ,la t,rmas, anlaml, de ildir.

[Click Here to upgrade to
Unlimited Pages and Expanded Features](#)



Şekil 5. K_{ATP} iyon akımları inaktivasyon protokolü.

Tartı ma

Sunulan çal, mada iskemik ve non iskemik s,çan kardiyomiyositlerinin potasy,m ak,mlar,n,n (IK) kar ,la t,r,lmas, yap,lm, t,r. Sonuçlar,m,z iskemik hücrelerde IKtot ak,mlar,n,n kontrol hücrelerine göre farkl, olmad, ,n, ama IKatp ak,mlar,n,n anlaml, derecede art, ,n, göstermektedir. Bu bulgu anoksik ko ullarda yap,lan benzer çal, malardan elde edilenler ile benzerdir (34, 35). Ayr,ca baz, çal, malar yeniden oksijenlendirilen kardiyomyositlerin K iyon ak,mlar,n,n normal kalplerle kar ,la t,r,ld, ,nda bir farkl,l,k göstermedi ini de ortaya koymu tur. Literatürdeki benzer çal, malar ile desteklenen bulgular,m,z bize Katp kanal aktivitesinin hücrelerin oksijenlenme durumu ile düzenlenebilece ini dü ündürmektedir.

Hipoksik veya iskemik ko ullarda aç,ld, , bildirilen üç tip K kanal, vard,r. Bunlardan ikisi ara idonik asit ile aktive edilir (36) iletkenlikleri 160 ve 68 pS (140 mm[Ki].kadard,r ve saman sabiti 1ms \ominus ının üzerindedir. Di er kanal ise hücre içi Na art, , ile aktive olur ve bunun iletkenli i yakla ,k 200 pS (150 mM Ko) kadard,r (37). Pipet solüsyonu ATP içeri i, elde edilecek ak,m,n yo unlu u aç,s,ndan önemlidir. Örne in Belles, Hescheler ve Trube (38) IKatp ak,mlar,n,n pipette ATP yokken 20 dakika sonra, 3mM ATP varken ise 48 dakika sonra beklemeyi takiben geli ti ini bildirdiler. Bizim deneylerimizde pipet solüsyonlar, ATP içermiyordu ve Katp kay,tlar, whole-cell konfigürasyonunda ortalama 18 dakika bekledikten sonra al,nd,. Bu durum



Your complimentary
use period has ended.
Thank you for using
PDF Complete.

[Click Here to upgrade to
Unlimited Pages and Expanded Features](#)

yo ve pipet solüsyonlar,ndaki substrat düzeylerinin

literatürde kullanımlarla benzer oldu unu düzendürmektedir.

Çal, mama,zda patch clamp kayıtlar, s,ras,nda banyo ortam,nda hipoksi ya da anoksi uygulanmam, t,r. Kardiyak hipoksi in vivo ko ulla'da yar, m saat boyunca uygulanm, ve iskemik kalpten izole edilen hücreler, banyo ortam,nda whole-cell konfigürasyonda çal, ,lm, t,r. Hücre izolasyon tekniğinin başı ar,s,, sa lam bir kalbin hücrelerinin ayrı, t,r,l,yor olmas,na baş ,ml,d,r. Biz deney grubu olarak iskemi uygulanan kalbin hücrelerini izole etmek durumunda oldu umuz için, deney grubundan whole-cell konfigüreayonuna dayanabilecek morfolojide hücre izole etmeye zorland,k. Ancak dört s,çan,n birer kardiyomiyositinden kayıtları alınamemesi nedeni ile, kontrol grubunda da dört hücrenin çal, ,lmas, yeterli bulundu.

Miyokardiyositlerde hücre içi ATP'ının homojen olduğu, ,na dair bulgular bulunmaktadır, r. Skeminin başlaması,ndan sadece onlarca saniye sonra K⁺, , artar (39). Bu ç, k, , smen glibenklamide duyarlılığı (40) ama bu dönemde hücre içi ATP 3-5 mM²/k normal düzeyindedir (41). Bu değer eksizede patchlerde kanallar,ın yarı maksimal inhibisyonu için gereken ATP konsantrasyonunun yaklaşık 2 katıdır (42). Sa lam hücreler ve eksizede duyarlılıklar,ın aynısı, olaca , dikkate alın,rsa bu durum total ATP konsantrasyonunun Katp kanal regülasyonu için uygun olmadı, , ama lokal ATP konsantrasyonla,ın kanal aktivitesinin düzenlenmesinde daha yakın bir etki gösterdi ini düzendürür.

ode kardiyomiyositlerde ATP üretiminin dü mesi

beklenir. Katp kanallar,n,n kapal, tutulmas, için birkaç mmHg'd,k oksijen bas,nc, yeterli oldu u bilinmektedir. Çal, mam,z,n sonuçlar,, iskemik hücrelerde daha fazla Katp iyon ak,m, olu tuunu gösterdi inden, deney modelimizde uygulanan hipoksinin bu kanallar,n aç,lmas,na yetecek iddette oldu u dü ünulebilir.

Patolojik ko ullardan veya iskemiden sonra kardiyomiyosit ATP içeri i miyokardiyal disfonksiyondan dolay, azal,r. (43). Azalm, ATP içeri i iskemik hasardan sonra gözlenen i levsel de i ikliklere katk,da bulunur çünkü ATP, ATPaz ve özellikle KATP kanallar, ba ta olmak üzere pek çok enzim ve proteinin aktivitesini regüle eder (44). Azalm, ATP/ADP oran, ile aktive olan KATP kanallar, kardiyomiyosit içerisinde Ca ak, ,n,n durdurulmas, ve aksiyon potansiyelinin ve kas,lman,n süresinin önlenmesi ve böylece kalp kontraktürünün önlenmesi veya azalt,lmas, için önemlidir (45). skemide Kardiyomiyosit KATP kanallar,, düzenleyici tiol gruplar,n,n oksidasyonu sonucu azalm, ATP/ADP oran,na duyarlı,klar,n, kaybedebilirler (46). Tiol gruplar,n,n oksidasyonu serbest radikallerin yüksek oranda varl,klar,n,n sonucu olur (47). Bu nedenlerle iskemi s,ras,nda Katp kanallar, kalsiyum ak, ,n, s,n,rlama yetene ini kaybeder ve aksiyon potansiyeli süresi uzar ve kardiyak kontraktür meydana gelir

Membran KATP kanallar, hiperpolarizasyonu tetikler bu da voltaj ba ,ml, Ca kanallar, vas,tas,yla Ca giri ini azalt,r ve böylece kardiyomiyosit AP süresini s,n,lar. skemi s,ras,nda bu mekanizman,n de i mesi aksiyon potansiyeli süresinin uzamas,na ve kalp h,z,nda azalmaya ve kardiyak i levin progresif azalmas,na neden olur. Özellikle

, KATP kanallar,n,n tiol gruplar,nda oksidasyona

neden olur (48) ve kanal aktivitesini inhibe eder (49).

Her ne kadar ATP ve glibenklamid ile bloklanan kanal blokaj,, çal, ,lan kanal,n KATP kanal, oldu unu gösterse de deneylerimizde belirlenen Katp kanal iletkenli i 106 15 pS aras,nda belirlendi, bu de er litaratürde belirtile 80 pS (50-52) de erinden dü ük bulundu. Çal, mam,zda ölçülen de er ise vasküler düz kasta (53, 54) veya mitokondri iç membran,nda (55) ölçülen de erlere yak,nd.,

Sonuç olarak, bu çal, mada in vivo uygulanan iskemi modeli alt,nda izole edilen kardiyomiyositlerde total K iyon ak,mlar,n,n de i medi i ama Katp kalan ak,mlar,n,n art, , bulunmu tur. Katp ak,mlar, glibenklamid uygulamas, ile ortadan kald,r,lm, t,r. Artan Katp iyon ak,m,n,n, iskemiye adaptif bir yan,t olu turmak üzere hücre membran,na transloke olan kanal proteinlerinin sonucu oldu unu dü ünmekteyiz. Bununla birlikte mekanizmay, aç,klayacak moleküller çal, malara ihtiyaç bulunmaktadır.

Kaynaklar

1. Noma A. ATP-regulated K⁺ channels in cardiac muscle. *Nature*. 1983; 305(5930):14768.
2. Babenko AP, Aguilar-Bryan L, Bryan J. A view of sur/KIR6.X, KATP channels. *Annu Rev Physiol*. 1998;60: 6676 687.
3. Babenko AP, Bryan J. Toward understanding the assembly and structure of KATP channels. *Physiol Rev*. 1998; 78: 2276245.
4. Seino S, Miki T. Physiological and pathophysiological roles of ATP-sensitive K⁺ channels. *Prog Biophys Mol Biol*. 2003;81(2):1336176.
5. Rajashree R, Koster JC, Markova KP, Nichols CG, Hofmann PA. Contractility and ischemic response of hearts from transgenic mice with altered sarcolemmal K(ATP) channels. *Am J Physiol Heart Circ Physiol*. 2002;283(2):H5846590.
6. Hu K, Li GR, Nattel S. Adenosine-induced activation of ATP-sensitive K⁺ channels in excised membrane patches is mediated by PKC. *Am J Physiol*. 1999;276(2 Pt 2):H4886495.

[Click Here to upgrade to
Unlimited Pages and Expanded Features](#)

awford RM, Jovanovic A. Hypoxia-induced

preconditioning in adult stimulated cardiomyocytes is mediated by the opening and trafficking of sarcolemmal KATP channels. Faseb J. 2004;18(9):104661048.

8. McTaggart JS, Clark RH, Ashcroft FM. The role of the KATP channel in glucose homeostasis in health and disease: more than meets the islet. J Physiol. 2010 Jun 21.

9. Quayle JM, Nelson MT, Standen NB. ATP-sensitive and inwardly rectifying potassium channels in smooth muscle. Physiol Rev. 1997; 77(4):11656232.

10. Grover GJ. Protective effects of ATP-sensitive potassium-channel openers in experimental myocardial ischemia. J Cardiovasc Pharmacol. 1994;24 Suppl 4:S18627.

11. Budas GR, Jovanovic S, Crawford RM, Jovanovic A. Hypoxia-induced preconditioning in adult stimulated cardiomyocytes is mediated by the opening and trafficking of sarcolemmal KATP channels. FASEB J. 2004;18(9):104668. Epub 2004 Apr 14.

12. Kameyama M, Kakei M, Sato R, Shibasaki T, Matsuda H, Irisawa H. Intracellular Na⁺ activates a K⁺ channel in mammalian cardiac cells. Nature. 1984; 309(5966):354-6.

of the ischaemic heart: investigations into the phenomenon of ischaemic preconditioning. *Cardiovasc J Afr.* 2009;20(1):43651.

14. Lefer DJ, Nichols CG, Coetze WA. Sulfonylurea receptor 1 subunits of ATP-sensitive potassium channels and myocardial ischemia/reperfusion injury. *Trends Cardiovasc Med.* 2009;19(2):6167.

15. Okorie MI, Bhavsar DD, Ridout D, Charakida M, Deanfield JE, Loukogeorgakis SP, Macallister RJ. Postconditioning protects against human endothelial ischaemia-reperfusion injury via subtype-specific KATP channel activation and is mimicked by inhibition of the mitochondrial permeability transition pore. *Eur Heart J.* 2011; 32(10):1266674.

16. Gross ER, Nithipatikom K, Hsu AK, Peart JN, Falck JR, Campbell WB, Gross GJ. Cytochrome P450 omega-hydroxylase inhibition reduces infarct size during reperfusion via the sarcolemmal KATP channel. *J Mol Cell Cardiol.* 2004;37(6):124569.

17. Grover GJ. The role of ATP-sensitive potassium channels in myocardial ischemia: pharmacology and implications for the future. *EXS* 1996;76: 313624.

18. Simões C, Svensjö E, Bouskela E. Effects of cromakalim and glibenclamide on arteriolar and venular diameters and macromolecular leakage in the microcirculation during ischemia/reperfusion. *J Cardiovasc Pharmacol.* 2002;39(3):34066.

[Click Here to upgrade to
Unlimited Pages and Expanded Features](#)

19. Quast U, Guillou JM, Cavero I. Cellular pharmacology of potassium channel openers in vascular smooth muscle. *Cardiovasc Res.* 1994; 28(6):805-610.
20. Budas GR, Jovanovic S, Crawford RM, Jovanovic A. Hypoxia-induced preconditioning in adult stimulated cardiomyocytes is mediated by the opening and trafficking of sarcolemmal KATP channels. *FASEB J.* 2004; 18(9):1046-68.
21. Mozaffari MS, Schaffer SW. Effect of pressure overload on cardioprotection of mitochondrial KATP channels and GSK-3beta: interaction with the MPT pore. *Am J Hypertens.* 2008; 21(5):570-65.
22. Budas GR, Jovanovic S, Crawford RM, Jovanovic A. Hypoxia-induced preconditioning in adult stimulated cardiomyocytes is mediated by the opening and trafficking of sarcolemmal KATP channels.. *FASEB J.* 2004;18(9):1046-68.
23. Toyoda Y, Levitsky S, McCully JD . Opening of mitochondrial ATP-sensitive potassium channels enhances cardioplegic protection. *Ann Thorac Surg.* 2001;71(4):1281-68.
24. Chen M, Zhou JJ, Kam KW, Qi JS, Yan WY, Wu S, Wong TM. Roles of KATP channels in delayed cardioprotection and intracellular Ca(2+) in the rat heart as revealed by kappa-opioid receptor stimulation with U50488H. *Br J Pharmacol.* 2003; 140(4):750-68.



Your complimentary
use period has ended.
Thank you for using
PDF Complete.

[Click Here to upgrade to
Unlimited Pages and Expanded Features](#)

25. Pain T, Yang XM, Critz SD, Yue Y, Nakano A, Liu GS, Heusch G, Cohen MV, Downey JM. Opening of mitochondrial K(ATP) channels triggers the preconditioned state by generating free radicals. *Circ Res*. 2000; 87(6):460-6.
26. Noma A. ATP-regulated K⁺ channels in cardiac muscle. *Nature*. 1983; 305(5930):147-8.
27. Ashford ML, Boden PR, Treherne JM. Glucose-induced excitation of hypothalamic neurones is mediated by ATP-sensitive K⁺ channels. *Pflugers Arch*. 1990; 415(4):479-83.
28. Ohno-Shosaku T, Yamamoto C. Identification of an ATP-sensitive K⁺ channel in rat cultured cortical neurons. *Pflugers Arch*. 1992; 422(3):260-6.
29. Cook DL, Hales CN. Intracellular ATP directly blocks K⁺ channels in pancreatic B-cells. *Nature* 1984; 311:271-3.
30. Spruce AE, Standen NB, Stanfield PR. Voltage-dependent ATP-sensitive potassium channels of skeletal muscle membrane. *Nature*. 1985; 316(6030):736-8.
31. Masuzawa K, Asano M, Matsuda T, Imaizumi Y, Watanabe M. Possible involvement of ATP-sensitive K⁺ channels in the relaxant response of dog middle cerebral artery to cromakalim. *J Pharmacol Exp Ther*. 1990; 255(2):818-25.

[Click Here to upgrade to](#)

[Unlimited Pages and Expanded Features](#)

32. Bryan J, Aguilar-Bryan L. Sulfonylurea receptors: ABC transporters that regulate ATP-sensitive K(+) channels. *Biochim Biophys Acta*. 1999; 1461(2):285-303.
33. Kurata HT, Phillips LR, Rose T, Loussouarn G, Herlitze S, Fritzenbach H, Enkvetchakul D, Nichols CG, Baukowitz T. Molecular basis of inward rectification: polyamine interaction sites located by combined channel and ligand mutagenesis. *J Gen Physiol*. 2004; 124(5):541-54.
34. Benndorf K, Bollmann G, Friedrich M, Hirche H. Anoxia induces time-independent K⁺ current through KATP channels in isolated heart cells of the guinea-pig. *J Physiol (Lond)*. 1992; 454: 339-357.
35. Knopp A, Thierfelder S, Doepner B, Benndorf K. Mitochondria are the main ATP source for a cytosolic pool controlling the activity of ATP-sensitive K⁺ channels in mouse cardiac myocytes. *Cardiovasc Res*. 2001; 52: 236-245.
36. Kim D, Clapham DE. Potassium channels in cardiac cells activated by arachidonic acid and phospholipids. *Science* 1989; 244: 1174-1176.
37. Kameyama M, Kakei M, Sato R, Shibasaki T, Matsuda H, Irisawa H. Intracellular Na⁺ activates a K⁺ channel in mammalian cardiac cells. *Nature*. 1984; 309(5966):354-6.

[Click Here to upgrade to
Unlimited Pages and Expanded Features](#)

i. Changes of membrane currents in cardiac cells

induced by long whole-cell recordings and tolbutamide. Pflugers Arch. 1987; 409(6):58268.

39. Hirche H, Franz C, Bös L, Bissig R, Lang R, Schramm M. Myocardial extracellular K⁺ and H⁺ increase and noradrenaline release as possible cause of early arrhythmias following acute coronary artery occlusion in pigs. J Mol Cell Cardiol. 1980;12(6):5796 93.

40. Wilde AA, Escande D, Schumacher CA, Thuringer D, Mestre M, Fiolet JW, Janse MJ. Potassium accumulation in the globally ischemic mammalian heart. A role for the ATP-sensitive potassium channel. Circ Res. 1990;67(4):835643.

41. Weiss J, Hiltbrand B. Functional compartmentation of glycolytic versus oxidative metabolism in isolated rabbit heart. J Clin Invest. 1985; 75(2):436647.

42. Lederer WJ, Nichols CG. Nucleotide modulation of the activity of rat heart ATP-sensitive K⁺ channels in isolated membrane patches. J Physiol. 1989; 419:1936211.

43. Jennings RB, Steenbergen C Jr. Nucleotide metabolism and cellular damage in myocardial ischemia. Annu Rev Physiol. 1985; 47: 727649.

44. Noma A, Shibasaki T. Membrane current through adenosine-triphosphate-regulated potassium channels in guinea-pig ventricular cells. J Physiol. 1985; 363:463680.

[Click Here to upgrade to
Unlimited Pages and Expanded Features](#)

45. Miki T, Seino S. Roles of KATP channels as metabolic sensors in acute metabolic changes. *J Mol Cell Cardiol.* 2005; 38(6):917-925.
46. Tricarico D, Wagner R, Mallamaci R, Conte Camerino D. Cysteine restores the activity of ATP-sensitive potassium channels of skeletal muscle fibers of aged rats. *Ann N Y Acad Sci.* 1994;717:244-252.
47. Droege W. Aging-related changes in the thiol/disulfide redox state: implications for the use of thiol antioxidants *Experimental Gerontology* 2002, 37: 133-145.
48. Harman D. Free-radical theory of aging – consequences of mitochondrial aging. *AGE.* 1983; 6(3): 86-94
49. Coetze WA, Nakamura TY, Faivre JF. Effects of thiol-modifying agents on K-ATP channels in guinea-pig ventricular cells. *American Journal of Physiology- Heart and Circulatory Physiology.* 1995; 269(5): H1625-H1633.
50. Noma A. ATP-regulated K⁺ channels in cardiac muscle. *Nature* 1983; 305(5930): 147-148
51. Kakei M, Noma A, Shibasaki T. Properties of Adenosine-Triphosphate-regulated Potassium Channels in Guinea-Pig Ventricular cells. *Journal of Physiology-London* 1985; 363: 441-462.

[Click Here to upgrade to
Unlimited Pages and Expanded Features](#)

52. Seino S. ATP-sensitive potassium channels: a model of heteromultimeric potassium channel/receptor assemblies. *Annu Rev Physiol.* 1999;61:337-62
53. Kajioka S, Oike M, Kitamura K. Nicorandil opens a calcium-dependent potassium channel in smooth muscle cells of the rat portal vein. *J. Pharmacol. Exp. Ther.* 1990; 254:905-913.
54. Kajioka S, Kitamura K, Kuriyama H. Guanosine diphosphate activates an adenosine 5'-triphosphate-sensitive K⁺ channel in the rabbit portal vein. *J. Physiol.* 1991; 444:397-418.
55. Inoue I, Nagase H, Kishi K, Higuti T. ATP-sensitive K⁺ channel in the mitochondrial inner membrane. *Nature.* 1991 Jul 18;352(6332):244-7.